

(株) 精研 正員 高志 勤  
 " " 生頬 孝博  
 " " ○山本 英夫

### 1.はじめに

水で飽和した土が凍結するときの凍上率(全凍上量/凍結前供試体体積、土の凍結膨脹率とした方が用語としては明確ではあるが、ここでは凍上率を用いる)に及ぼす供試体長さの影響を室内実験によって調べた。

前報では、凍上率 $\delta_f$ が最大となる供試体長さの範囲があり、室内実験に用いた供試体長さはこの範囲のものが適切であることを示した。しかしながら、用いた試料土が現地盤より採取した不搅乱土であった為、供試体全長に涉って均質とは言い難く、供試体を順次削り落して繰り返し凍結を行なうような実験方法では問題が残った。

そこで、本報告では、同一条件下で作製した均質な供試体を用いて土の有効応力及び凍結速度が異なる場合 $\delta_f$ との関係を調べた。

### 2. 実験の概要

実験に用いた試料土は粗礫粘土-3である(表-1)。

供試体は、気乾燥してとそぐした試料土に水を加えた粘土ペーストを $0.5$ から $16 \text{ kg/cm}^3$ まで合計6段階で圧密したもので4個作製した(各供試体をMM-1~4とし、実験結果の表示に用いる)。供試体の凍結前の形状及び諸定数の平均値を表-1に示す。

実験では、各供試体について表-2に示すように、土の有効応力 $\sigma$ と凍結速度 $U$ を一定に保って、凍結中の水分移動に対する開放系で凍結実験を行なった。供試体長さ $l$ は $5 \text{ cm}$ から始め、一つのとび図-1に示すように12回前後実験を繰り返し、そのとおり代表の凍上率 $\delta_f$ 及び吸排水率 $\delta_w$ を求め、順次供試体を削りながら同じ作業を繰り返した。実験装置の詳細は前報<sup>1)</sup>及び文献2)に譲る。

### 3. 実験結果及び考察

MM-2の供試体長さが $\delta_f$ 1,  $\delta_f$ 2段階での凍結-解凍を繰り返したときの $\delta_f$ 及び $\delta_w$ の変化を図-1に示す。前回用いた不搅乱土と同じように、 $\delta_f$ 1段階の試料長では、凍結を繰り返す事によって $\delta_f$ が減少して一定値に達する。しかしながら、 $\delta_f$ 2段階以後では、 $\delta_f$ がほぼ一定もしくは $\delta_f$ が大きくなつて一定値に達する場合もある。(この凍結-解凍の繰り返しに対する $\delta_f$ の変化については稿を改めて報告したい。) 各供試体長における代表の $\delta_f$ ,  $\delta_w$ は後半の一一定に達した数回の平均値をもつとした。

図-2は、各供試体についての $\delta_f$ と $\delta_w$ 及び $\delta_w$ の関係を示したものである。今回実験条件では $\delta_f$ が $2 \text{ cm}$ 以上では $\delta_f$ ,  $\delta_w$ 共にほぼ一定値を示している。文献3)に示された未凍結土の動水抵抗の影響を考慮して $\delta_f$ ,  $\delta_w$ を求める式を用いて計算した結果、こ

表-1 供試体の諸定数

|        |   |                        |
|--------|---|------------------------|
| 粒度特性   | %   |                        |
| 砂      | 1.0   |                        |
| シルト    | 44.0  |                        |
| 粘土     | 55.0  |                        |
| 土粒子比重  | G <sub>s</sub>                                | 2.712                  |
| 比表面積   | S <sub>a</sub> m <sup>2</sup> /g <sup>1</sup> | 26.2                   |
| 供試体直径  | cm  | 9.93                   |
| 供試体長さ  | cm  | 5.09                   |
| 含水比    | w %   | 25.9                   |
| 単位体積重量 | γ <sub>t</sub> g/cm <sup>3</sup>              | 1.994                  |
| 空隙率    | n   | 0.416                  |
| 飽和度    | S <sub>r</sub> %                              | 97.9                   |
| 透水係数   | k cm/min <sup>1</sup>                         | 1.394·10 <sup>-6</sup> |

表-2 各供試体の有効応力 $\sigma$ と平均の凍結速度 $U$

| 供試体番号 | 有効応力 $\sigma$ kg/cm <sup>2</sup> | 凍結速度 $U$ mm/h |
|-------|----------------------------------|---------------|
| MM-1  | 2.4                              | 2.955         |
| 2     | 2.4                              | 5.616         |
| 3     | 1.2                              | 3.054         |
| 4     | 2.4                              | 1.536         |

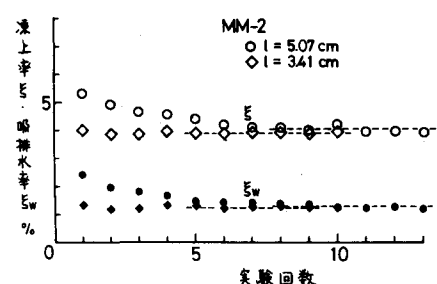


図-1 凍結を繰り返した場合の $\delta_f$ ,  $\delta_w$ の変化

の試料長の範囲では、吸水速度の大きいMM-3を除いて、ほとんど動水抵抗の影響を受けない事と一致している。(但し、計算には不規則土についての定数を用いた。) 一方、 $l$ の短かいところでは、 $\bar{E}_W$ は必ず減少し、吸水型から排水型に変るものもあり前回報告のものと一致するが、 $\bar{E}_S$ は $\bar{E}_W$ と同じ傾向を持つものとそうでないものがある。凍土上の発生領域が凍結面後方の有限長の範囲にあるとすると、供試体長が短かくなると凍土発生領域が未完成のままで凍結が完了する為、凍土量及び吸水量が減少するはずであり、 $\bar{E}_W$ に関しては傾向的に一致している。しかし短かいところでの $\bar{E}_S$ と $\bar{E}_W$ の変化の相異は、不質的なものであるのか、あるいは、 $l$ が短かくなる為計測の精度上の問題であるのか今後二点検討する。前報で得られた $l$ が最大となるとの範囲は、 $l > 2\text{cm}$ の $\bar{E}_S$ の平坦な部分として現われ、室内実験で用いる供試体は、今回の応力及び凍結速度範囲に限り、この平坦部分の長さのものが適当と考えられる。

$l$ が短かくなると $\bar{E}_W$ が吸水型から排水型に変化することに関連して、図3に示す凍土上、吸排水量の経時変化から興味ある結果が得られる。図より明らかのように、凍結を開始した後、凍結が進行するにも拘らず数時間は凍土上が現われない。これは、凍結面後方の凍土中では凍土しづらい(あるいはできない)領域が存在する事を示していると考えられる。この領域は $l$ が大きい程そして $U$ が小さい程大きくなる傾向がみられる。

#### 4. おわりに

本実験によって、 $l$ が $2\text{cm}$ より長くなると凍土率及び吸排水率が一定の最大値となる事がわかり、室内実験に用いる供試体長さは、この範囲のものが適切であると考えられる。但し、吸水速度が大きくなるような実験条件では、動水抵抗の影響が顕著になると考えられ、更に実験を進めて明らかにしたい。

参考文献 1) 高志・生頬・山本, 34回土木学会年次学術講演概要集, III-115 (1979)

- 2) 高志・益田, 雪氷, Vol. 33, No. 3, pp. 1-12 (1971)
- 3) 高志・益田・山本, 雪氷, Vol. 38, No. 1, pp. 1-10 (1976)
- 4) 高志・生頬・山本, 雪氷, Vol. 41, No. 4, pp. 47-57 (1979)

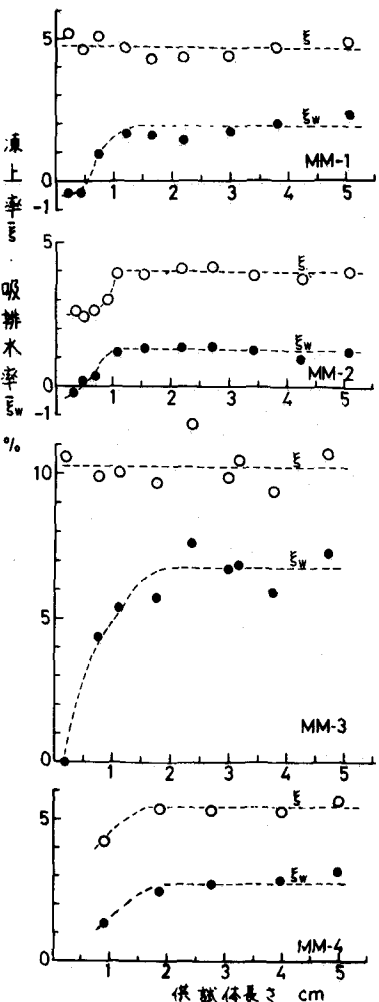
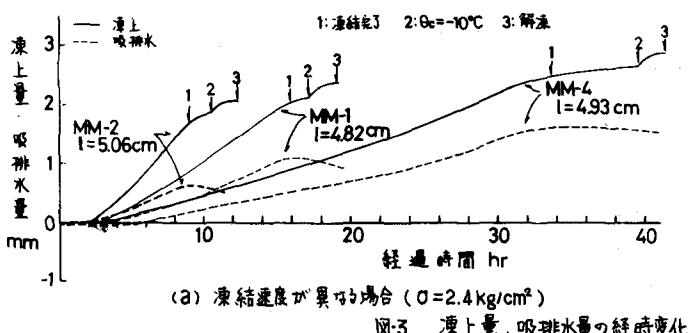


図2  $\bar{E}_S$ ,  $\bar{E}_W$  と  $l$  の関係

